

京都大学防災研究所 正員 柴田 徹  
 同 同 〇大植正紀  
 不動産建設(株) 同 末松直幹

はじめに かなり広範囲にわたる一様な粘土地盤において、一次元的な載荷条件を満足する盛土試験が行われ、沈下観測データが得られた。本報告は、同じ現場から採取した粘土試料を用いた室内試験結果から、圧密圧力、圧力増分による地盤の圧縮性の変化などを考慮に入れて、現場の沈下観測データを解析しようとするものである。

**粘土地盤の沈下観測結果** 地盤の概況は、表面に約1mの砂層、深さ約15mまで沖積粘土層、それ以下に洪積粘土層が堆積している。沖積粘土層は、地表面近くを除けば正規圧密状態にある。この地盤上に一次元変形条件を満たすような広い範囲にわたって3.5m厚(No.1地点)と2.5m厚(No.2地点)の盛土を行ない、盛土後の地盤表面の沈下量、地盤内の間けき水圧の変化、層別の圧縮状況などを測定している。図-1に地盤表面の沈下量の経時変化を示す。図中の鎖線は、沖積層を5層に分け各層での圧密諸係数の変化を考慮に入れて、Terzaghiの一次元圧密理論より求めた沈下曲線である。この図より、沈下の計算値は実測値よりもかなり遅れていることがわかる。このような違いを検討し、新しい手掛りを見出すため、同じ現場から採取した乱さな試料による室内試験を行った。

**室内試験結果** 試料は約10mの深さから採取したシルト質粘土で、LL=76.5%、PL=38.0%である。試験は24時間載荷の標準圧密試験と長期間(25~48日)の側方拘束圧密試験(供試体はいずれも高さ2cm、断面積10cm<sup>2</sup>)を行った。図-2は長期試験の試験法を模式的に表わしたものであり、APを載荷する直前の点(A)とAPを載荷した後時間tにおける点(B)を結ぶ直線の勾配をC<sub>c</sub>(t)とすれば、C<sub>c</sub>(t)は

$$C_c(t) = \frac{(1+e) \epsilon}{\log_{10} \frac{p+\Delta p}{p}} \quad (1)$$

式(1)で表わされる。試験はいずれも圧密圧力0.05 kg/cm<sup>2</sup>

から荷重増分比を1にして24時間載荷により圧力Pまで圧密し、その後荷重増分ΔPを加えて、長期間載荷する。各試験のε~log pプロットを図-3に破線を示す。図-4は、各長期試験における100%圧密時

3×10<sup>-4</sup>分における(1+e)ε~log(p+ΔP)/pの関係を示したものである。この図より、εプロットはP、ΔPに関係なく原点を通る直線上にあるとみなせる。図-5に

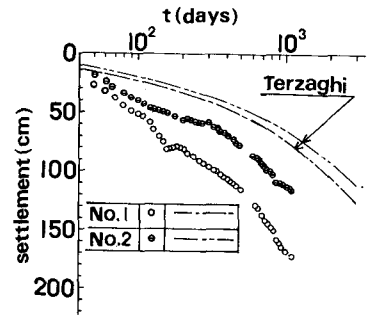


図-1 地盤の沈下観測結果

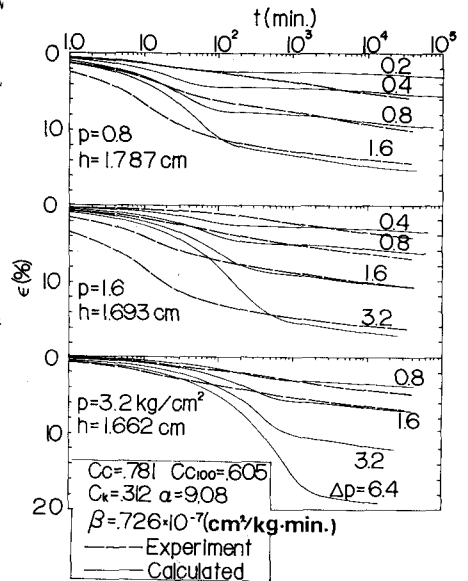


図-3 ε~log t プロット

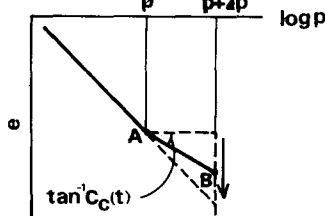


図-2. ε~log p 関係模式図

$C_c(t) \sim \log t$  プロットを示す。この試料では直線になっている。

試験結果の解析 いま 100% 圧密時,  $t \rightarrow \infty$  時のひずみを  $\epsilon_{100}$ ,  $\epsilon_{\infty}$ ,

このときの  $C_c(t)$  の値をそれぞれ  $C_{c100}$ ,  $C_c$  とすると式 (2), (3) を得る。

$$\epsilon_{100} = \frac{C_{c100}}{1+e} \log_{10} \frac{p+\Delta p}{p} \quad (2)$$

$$\epsilon_{\infty} = \frac{C_c}{1+e} \log_{10} \frac{p+\Delta p}{p} \quad (3)$$

また、最終二次圧密量  $\epsilon_s$  は式 (4) となる。このような土の構造骨格のレオロジー挙動を説明するために、図-6 に示すレオロジーモデル(ゲッシュェボ

$$\epsilon_s = \frac{C_c - C_{c100}}{1+e} \log_{10} \frac{p+\Delta p}{p} \quad (4)$$

$$t = \frac{1}{\beta(p+\Delta p)} \int_0^{\epsilon_s} \frac{d\epsilon_s}{\sinh \left\{ \alpha \left[ 1 - \frac{p}{p+\Delta p} \exp \left( \frac{2.30(1+e)}{C_c - C_{c100}} \epsilon_s \right) \right] \right\}} \quad (5)$$

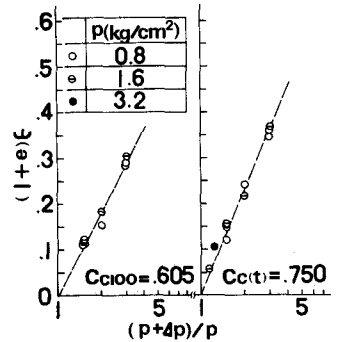


図-4.  $(1+e)\epsilon \sim \log(p+\Delta p)/p$   
(a) 100% Consol. (b)  $3 \times 10^4$  Min.

ットは村山、柴田モデル<sup>2)</sup>を

$$\epsilon = \epsilon_{100} + \epsilon_s \quad (6)$$

を用いると、応力

ひずみ-時間関係は、式 (2), (5), (6) で計算される。ここに、 $\alpha$ ,  $\beta$  はゲッシュェボットの粘性を示す係数である。つきに、土が水で飽和されている場合、一次元圧密に関する連続と、力のつり合いは式 (7), (8) で表わされる。<sup>2)</sup> ここに

$$\frac{\partial \epsilon}{\partial t} + \frac{1}{\alpha_0} \frac{\partial}{\partial z} \left( k \frac{\partial u_e}{\partial z} \right) = 0 \quad (7)$$

$$\frac{\partial}{\partial z} (p + \Delta p + u_e) = (1-n) \gamma_w (G_s - 1) \quad (8)$$

$u_e$ : 過剰間引き水圧,  $p, \Delta p$ : 載荷前の有効応力および有効応力の増分,  $n$ : 間引き率,  $k$ : 透水係数,  $\alpha_0 = (2-n) \gamma_w$ , したがって、式 (7) において  $\frac{\partial \epsilon}{\partial z} \cdot u_e = 0$  ( $u_e$ : 鉛直変位) としている。 $\Delta p = u_e = 0$  (平衡時) においても式 (8) が成立するとすると (9) 式が成立する ( $\Delta p_0$ : 地盤表面の盛土圧)。したがって、

$$\Delta p = \Delta p_0 - u_e \quad (9)$$

式 (7), (9) に土の有効応力-ひずみ-時間関係 (式 (2), (5), (6) より計算) を入れて解くことにより、飽和粘土地盤の一次元沈下解析を行

なうことができる。図-3 の実線は、式 (10) の関係 (ただし、 $C_c = 1.33$ ,  $k_e = 2 \times 10^{-6}$  cm/min.,

$$e = e_e + C_k \log_{10} \frac{k}{k_e} \quad (10)$$

$C_k = 0.312$ ) を用いて、各試験と同じ境界条件のもとに差分法を用いて解いた結果である。

この図より、二次圧縮領域においては実験と計算結果はよく合っているが、一次圧密部分においては、 $\Delta p/p$  が小さいところでは計算値が早くなっているが、 $\Delta p/p$  が大きくなると遅れる傾向がある。これは式 (10) を用いた透水係数に問題があること、 $\Delta p/p$  が小さいところでは、100% ひずみは式 (2) の値よりも小さくなっていることなどによると考えられる。現場の粘土地盤に対しては同様な解析を行なっており、結果については当日発表する。

まとめ 長期間の沈下観測データが得られている粘土地盤より採取した乱さない試料を用いて、 $p, \Delta p$  をかえり長期の側方拘束圧密試験を行ない、 $\epsilon_{100}$ ,  $\epsilon_{\infty}$  と  $(p+\Delta p)/p$  の関係を得た。この関係を用いたレオロジーモデルを設定して、土の応力-ひずみ-時間関係を得た。さらに、この関係を用いて一次圧密、二次圧縮を考慮に入れた一次元変形解析を行ない、室内試験結果と比較した。現場への適用については検討中である。

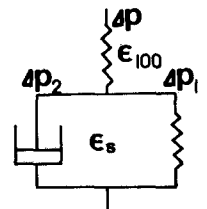


図-6 レオロジーモデル

引用文献: 1). 村山, 柴田; 土工学論文報告集 40号, 昭31, pp11~31

2). 大塚; 土管工学論文報告集 12巻, 1972, pp19~34